

第 14 回
大阪大学BME研究会資料
—計量診断治療の現状と展望—

昭和55年 8月30日

大阪大学BME研究会

文部省科学研究費総合研究(B) No. 530619
「新しい生体計測法の開発と評価に関する研究」

計量診断と多変量解析

柳井晴夫* 高木廣文**
(千葉大・人文*, 東大・医**)

1 多変量解析について³¹⁾

多変量解析とは、多くの変数間の相関関係を分析し、多くの変数の総合化（重みづけ）を行う手法の総称である。多変量解析の各手法とその分類を表1に示す。医学の領域においては、計量診断における判別関数の利用が最も頻繁である。計量診断における判別関数利用の目的は、ただ単に正診率を高め、医師による診断を計算機による自動診断に変えさせることができればよいというものではない。

いわゆる二群の母共分散行列の相等性を仮定した R.A.Fisher の判別関数は、

$$\hat{Y} = b_1 x_1 + b_2 x_2 + \dots + b_p x_p$$

と一次式で表わされるが、判別係数 b_1, b_2, \dots, b_p の意味づけについても注意を払う必要がある。 b_i ($i=1, 2, \dots, p$) は、重回帰分析における偏回帰係数と同様に、 x_1, x_2, \dots, x_p の内部相関に左右されるもので、¹⁾ 図1のYに対する判別係数のように、二群に平均値の差がなくても、正になることもあるし、その逆に平均値に著しい差がみられても、判別係数はゼロになることもある。また、判別係数 b_i は、変数 x_i が1単位増加した時のYの増加率を示すものであるが、日常の医療場面において、最高血圧を下げるような治療をすれば、最低血圧も下がる。さらに、米食をパン食に切り替えるように栄養指導すれば、牛乳をのむ量も増えてくるといったように、単独の変数の変化率（判別係数）の大きさだけに注目するのは正しくない。

統計的には、判別係数は、判別に (x_1, x_2, \dots, x_p) といった p 個の変数を用いるという条件付で、それぞれの変数が、判別

表1 多変量解析法の分類

	説明変数		基準変数	
	名義尺度	間隔尺度	名義尺度	間隔尺度
外的基準のある場合	重回帰分析 正準相関分析 判別分析（正準分析） （線型）判別分析 数量化第一類 数量化第二類	— — — — 多數 多數	多數 多數 多數 — — —	— — 多數 2 — —
外的基準のない場合	主成分分析 変形主成分分析 数量化第三類 クラスター分析 因子分析	— — 多數 — —	多數 多數 (多數) (多數)	— — — — 多數
類似性の指標	数量化四頭、多次元尺度構成法、最小次元解析、潜在構造分析			

(1) (多數)は説明変数であっても、基準変数であってもよいことを示す。

(2) 因子分析はそのモデル構成において、一方は仮想的に与えられた潜伏変数である。

の対象となる疾患に、どの程度関連しているかを示すものである。しかし、上記のような観点から、判別係数のもつ意味を解釈していくことは、当該疾患の etiology を解明していく上で、有用となることは否定できない。

判別関数によって得られた判別値のもう一つの表現法として、多重ロジスティック曲線

$$p(x) = \frac{1}{1 + \exp(-\sum_{i=1}^p b_i x_i)}$$

が用いられているが、これは、いわゆる量反応曲線の1変量から多変量への拡張とみなせよう。なお、最近、判別分析や重回帰分析に censored データをもちこ

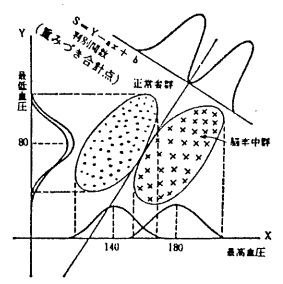


図1 一方の変数の平均と分散がほぼ等しい場合の相関図

んだ方法として、データ (x_1, x_2, \dots, x_p) の検査時点から t 時間経過した後の死亡率曲線を

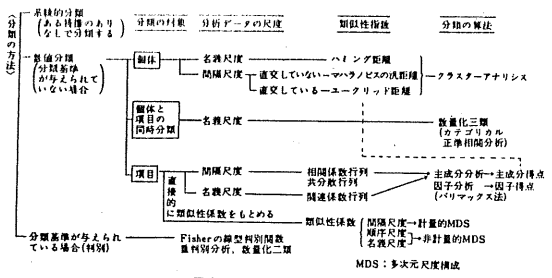
$$\lambda(t|x) = \exp\left(-\sum_{i=1}^p b_i x_i\right) \lambda_0(t)$$

として定義する Cox²⁾ の方法も有用である。上記の方式は、当該疾患の診断において時間的変数を考慮したリスクファクターの定量的評価に一つの新機軸を生み出すものである。同様の目的に古川ら³³⁾ の多重ワイブル分布を用いる方法も有効である。

ところで、1 変量から多変量へという観点からいえば、Hotelling の T^2 統計量を用いる二群の多変数の平均値の差の同時検定、多変量分散分析等がもとと利用されて然るべきであろう。なお、正規分布から多変量正規分布が生まれたように、 t 分布から多変量 t 分布、 F 分布から多変量 F 分布が生まれ、後者は、多変量分散分析における検定のための有用な分布になっている。さらに付言すれば、疫学でよく用いられる相対危険の定義も、多変量に拡張できることを指摘しておこう。

2 多変量解析の応用 32)

医学分野で多変量解析が頻繁に用いられているのは、上述したように計量診断における判別関数の利用である。我が国で、判別関数を用いて最初に計量診断を行った研究は、1950 年頃の鳥居ら³⁾ による胆石と胆道癌の判別である。また、判別すべき項目をカテゴリ項目に拡張した数量化理論 2 類を用いたものに崎野、巷野⁴⁾による研究がある。なお、数量化理論 2 類の応用例について Suzuki and Kudo が詳しい。³⁵⁾ さらに、変量が 0-1 データのとき、変量の独立性を仮定した尤度法による計量診断、尤度法による事前確率を考慮したベイズ確率による計量診断、さらには枝分かれ方式、



多段判別方式による計量診断が行われていた。その適用範囲は、小脳腫瘍、脳卒中、腎疾患、肝疾患、頭部外症、急性腹症等、内科的、外科的疾患に集中していた^{5,6)} しかし、最近では、産婦人科系^{7,8)}精神医学系^{9,10)}眼科系¹¹⁾等、あらゆる領域の疾患に拡張されている。なお、上記の研究^{9,11)}および¹²⁾は、判別の対象となる群が 3 つ以上の場合を取り扱っており、方法論的には重判別分析（正準分析）を用いている。

ところで、ベイズ法は事前確率の決定に問題が多く、尤度法、さらに尤度法によつて導びかれる判別関数が数多く用いられている。しかし、Fisher の判別関数の場合、二群における等分散性の仮説が棄却される場合には、二次判別関数を用いた方が判別の精度が上昇する。¹³⁾しかし、二次判別関数の得点分布は定めにくいので、誤診率の理論値を定めるためのさまざまな方法が工夫されている。¹⁴⁾

ところで、ある標本データによって計算された判別関数の正診率が高かったとしても、分析に用いたデータ数が少い場合、他の標本に適用された判別関数の正診率は著しく低下することがある。¹⁵⁾この他、計量診断に関する理論的問題に変数選択の問題がある。^{16,17)}この問題は計量診断の本質に関するもので、2 変数 x, y に相関のみられる場合、二群の平均値で x にのみ差があり、 y に全く差が認められなくとも、判別関数に y を追加することにより、診断の精度は

上昇する。¹⁸⁾ この意味で、二群の平均値（または比率）の差に有意差がみられないからといって、検査 y は診断に有用でないと考えるのは明らかに誤りである。

判別関数を用いて計量診断を行う場合、診断の対象となる病名が分析以前に明確に定義されなければならぬ。統計的についえば、病名は固定された概念ではなく、患者の呈するさまざまな病状を分類するための基準であると考えられる。そこで、統計的な分類手法について触れておくことも、計量診断を行う上で重要であろう。

3 分類の手順とその方法¹⁹⁾

分類の対象は大きくわけて、(1) 個体、(2) 項目（変数）の 2 種類がある。多くの患者に関する医療検査の計測値が与えられている場合、それによって患者を分類することもできるし、患者のデータによって、医療検査（項目）を分類することもできる。統計的には、個体は相互に独立なもの、項目は相関のあるものとして定義されるが、

4 応用例

(1) 精神的疾患の判別診断^{10, 30, 36)}

質問紙健康調査票 THI による判別診断

鈴木	庄	暮*
あすか	繁伸*	のぶ
柳井	晴	夫**
やなぎ	はる	おとむ

1. 質問紙健康調査票 THI

この質問紙健康調査票は正式には東大式質問紙健康調査票 The Tohoku Health Index (以下 THI と略す) 当初これは THIPI と略していた) と称し、130 間の、心身の訴えや自覚症状、生活行動、習慣、好みなどに関する質問で構成されている。被質問者は質問票に、「はい」、「どちらでもない」、「いいえ」などの 3 選択肢から自分にあてはまるものを○でかこんで選択するようになっている。THI の見本と評価法は文献 3) IC, 作成過程は文献 10) に詳しいので参照されたい。

THI は、従来よく使われてきたコーネル医学指數 CMI のような general health questionnaire のひとつであるが、結果の数値の取り扱いが容易でしかも評価法の標準化ができるところをねらって²⁰⁾、柳井・青木および筆者が、全く独自に新しく作成したものである^{10, 36)}。

表1 心身症患者群 (PSD) と神経症患者群 (NEUR) の THI 12尺度の平均得点と判別係数

尺度名	平均尺度得点		判別係数	
	P S D	N E U R	P S D	N E U R
多愁	37.78**	37.87**	0.139	0.143
呼吸器	16.84	16.94	-0.109	-0.102
頭と皮膚	16.42*	15.60	-0.106	-0.228
口腔と肛門	14.80	14.31	-0.175	-0.172
消化器	16.50*	14.73	0.027	-0.023
直結性	20.14**	20.96**	0.162	0.137
皮膚性	18.94	17.37*	0.127	0.058
情動不安定	28.36**	29.54**	0.068	0.077
抑うつ性	18.74**	20.96**	-0.012	0.202
攻撃性	11.80**	12.39**	-0.412	-0.040
神経質	20.36**	20.21**	0.029	0.055
生活不規則	21.50**	21.44**	-0.027	0.031

* および ** は、各患者群と健常比・同数のランダムサンプリングによる对照（正常）群との間の有意差検定で、各 1% および 5% の危険度で有意なものを示す。

この場合の類似性の指標としては、前者の場合、距離、後者の場合、相関係数が採用される。これらの類似性の指標を用いることにより、分類が可能となるが、その一般的な方法とその手順を図 2 に示した。

複数臓器の疾患によって全身的な症状を呈する膠原病のように、病名を診断する明確な基準が存在しない場合、患者の呈する症状の組み合わせに、クラスター分析の手法を適用することが有効となる。^{20, 21)} この他、主成分分析を用いる方法²²⁾、判別分析と因子分析を併用する方法²³⁾なども行われている。

なお、計量診断における多变量解析の各種の技法と、適用上の注意点については文献 15, 24 ~ 28) を参照されたい。さらに、理論上も応用上も明確に区別しがたい主成分分析と因子分析の相違点については、文献 29) を参照されたい。

以下に、いくつかの応用例を紹介する。

2. THI 作成過程

THI は、わが国の成人男女健診診断時に自由記入した心身の訴えをベースに、精神・心理的質問と生活習慣などに関する質問を加えた計 255 間の THI 原票を約 400 名の男女に実施した結果を数回にわたって因子分析し、それにもとづいて最終的に 130 間により 12 の尺度を設定したものである¹⁰⁾。

3. THI の評価法—尺度得点と疾病判別値

設定された 12 尺度を表 1 に示す。各質問の 3 選択肢の回答結果を 3, 2, 1 点とし、尺度を構成する質問の回答結果を合計して個人毎に尺度得点を得ることができる。正常集団で性別に尺度別の尺度得点の分布がわかっているのでこれをもとに、ある個人の尺度得点の相対評価を行うことができる¹⁰⁾、その 1 例を図 1 に示す。

尺度得点を因子分析すると、尺度は身体的なものと精神・心理的なものとに大きく分れる²⁰⁾。また、THI の精神・心理的な尺度および後述する判別値は、東大人格目録 TPI や矢田部ギルフォード人格目録 YGD とテスト・バッテリーを組ませて結果を因子分析するとの比較的よく合致することが確かめられている²¹⁾。

得られた尺度得点の 12 尺度のパタンは疾病によって特徴的な場合があるので、臨床的に心身あるいは神経

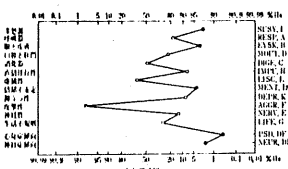


図 1 43歳男(心臓神経症)のTHIプロフィル

横軸は個々正常基準群の各尺度によるパーセンタイル値、この部では、多愁癖、眼と皮膚、情緒不安定の尺度得点が大きく、がま性の尺度得点が小さい。心身症および神経症の判別値は皆常に大きい。

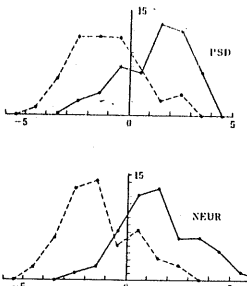


図 2 临床的心身症者群(上図 PSD)と同神経症者群(下図 NEUR)の各判別係数の分布と両群に對応する対照(正常)群のそれの分布。
横軸は人数、横軸は DF 値。

症と診断された患者群に実施した THI の尺度得点を、同数の正常者群のそれとの対比で両群をもっともよく分類できる各尺度の重み係数(判別係数) a_i を算出し(表 1), 判別関数を構成する。ある人の 12 尺度得点 x_i とから、両疾患の判別係数はそれぞれ次の式で求められる。

$$\text{心身症の場合 } DF = \frac{12}{i=1} a_i x_i - 0.928$$

$$\text{神経症の場合 } DF = \frac{12}{i=1} a_i x_i - 7.648$$

定性的に、DF 値が大きいほどそれぞれの疾病的傾向が大きいと判断する。定数項は DF 値が正の場合をそれぞれの疾病であると判別診断するためのものである。DF 値による両疾患者群の分類具合を図 2 に示す(19), その正診率は表 2 のように 80% 近い(19)。

4. 實用化と検証

THI は心身の訴え、自覚症状、生活行動など広範な社会関連項目を含むので、まずこれを参照しながら

ら医師等による問診あるいは心理的面接を行うことができる。この時、尺度得点と DF 値はすべて標準集団のそれが分布として与えられているのでその個人の定位的位置づけが可能になる。

集団に実施して、目的に応じ、疾患のスクリーニングに用いることも可能である(19)。心身症(19)、神経症(19)についてはその妥当性が確認されている(19)。

集団の健康の特徴性の定量的把握も可能である。たとえば、喫煙者、酒飲み、肥満者、若い者(19)、生活不規則者、職業的有害物取扱者、暴躁闘鬭者、中高年者、伝統的生活者、などの集団の心身の自覚症状の特徴や心理的傾向を比較検討して、種々興味深い結果が得られている。

(2) 精神健康度の診断

企業内メンタル・ヘルス診断システム(JMI)の開発に関する研究

その 7 妥当性に関する検討

○柳井清夫(千葉大)、内山喜久雄(筑波大)、石川中(東大)、伊藤芳(慶應大)、小田哲(筑波大)、黒田一彦(東大)、久保敏也(既死大都)、小西輝夫(松下電器)、山下正秀(通産省)、丹羽康(東洋英和)、鶴口英俊(東京家政大)、中込洋一(東京電力)、渡辺健男(日大)、久保田浩也、原須野弘司、今井保次(日本生産性本部)

1. 目的

JMI は医療の 4 つの尺度群から、産業人の精神の健康度を診断する総合的なテスト・パッケージであって上記の目的に廻した、さまざまな角度からの妥当性を検証しなければならない。以下に今回の報告までに検討された妥当性について報告する。

2. 方法

- 心身症の 4 つのタイプの患者群、精神疾患の 5 つのタイプの患者群、偏頭痛型分裂疾、妄想型分裂疾、不安神経症、抑うつ神経症、アルコール依存症の計 16 群の事例群に対して 80 名の一般産業人を対象とした 2 群の判別分析を行なう。
- 不安神経症の判別分析によって得られた判別係数を用いて、一般産業人の判別値を 5 つの職業(専門、技術的、管理的、事務、雇用、現業)別に求める。
- 上記の 5 つの精神疾患のタイプの差を最もよく判別できる判別因子を抽出するために重判別分析を行う。

3. 結果

- 11 の心身症のタイプの判別分析の結果については、各患者群のデータ数も少いことでもあって、正診率が 100 % に近いという全体的の大きさで高い値が得られた。ちなみに、患者数 64 名の偏頭痛心身症において、99.3 % の正診率が得られた。
- 不安神経症の判別値 -1.189 を基準にして、産業人の不安神経症傾向を診断すると、全体で 91.6 %、職業別にみると、専門・技術職 100 %、管理職 11.0 %、事務職 9.5 %、雇用職 14.6 %、現業職 7.3 %、という数値が得られた。

i) 重判別分析の結果、4 つの判別因子が抽出された。第 1 因子と第 2 因子、第 3 因子と第 4 因子を組み合わせた因に、5 つの群の判別因子得点の平均を示した。

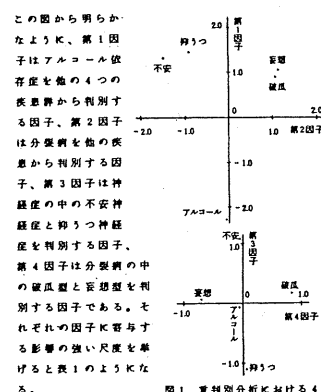


図 1 重判別分析における 4 つの判別因子と各の重心
また、各者の判別

因子得点と各群のユークリッド距離に基づく判別診断

を行うと表 2 のような結果が得られた。

表 2 THI 上の心身症および神経症の判別診断の精度—外来患者名 50 名および 52 名とそれそれ同数の対照(正常)群による

判	正 常	心身症	合 計
正 常	39	12	51
心身症	11	38	49
合 計	50	50	100
正 診 率	78.0	76.0	77.0

判	正 常	神経症	合 計
正 常	40	10	50
神 経 症	12	42	54
合 計	52	52	104
正 診 率	76.9	80.8	78.8

註: 外来診療による臨床診断、判: THI 結果のフィッシャーの判別係数による判別診断。

文献

- 柳井清夫、柳井清夫、吉木繁伸: 真間低健康調査票 THI の紹介。医学のあゆみ 99 : 217-225, 1976.
- 吉木繁伸、柳井清夫、柳井清夫: 新しい質問紙健康調査票 (THPI) 作成の試み。行動計量学 2 : 41-53, 1974.
- 柳井清伸: ある質問紙健康調査票作成の試み。健康管理 25(2) : 25-31, 1976.
- 柳井清伸、吉木繁伸: 健康人のポジティブ・ヘルス。保健の科学 19 : 463-467, 1977.
- 柳井清伸、柳井清夫、吉木繁伸: 真間低健康調査票 THI の妥当性の検討—現用版から。第 49 回日本学生学会講演会 p. 23, 85, 1976.
- 柳井清伸、柳井清伸: 性格テストと臨床評価。臨床精神医学 8 : 377-384, 1977.
- 柳井清伸、吉木繁伸: 健康人のポジティブ・ヘルス。保健の科学 19 : 463-467, 1977.
- 柳井清伸、柳井清夫、吉木繁伸: 真間低健康調査票 THPI の妥当性の検討—現用版の応用例から。第 49 回日本学生学会講演会 p. 452-3, 1976.
- 吉木繁伸、柳井清伸: 肥満者の心身の訴えの特徴—質問紙 THI から。産業医学 19 : 96, 1977.
- 吉木繁伸、柳井清伸、柳井清夫、吉木繁伸: 検査指標: 精神科領域での THI の妥当性の検討。行動計量学全会発表抄録集, 1975.

表 1. 判別因子と判別係数

判別因子	尺 度	判別係数	尺 度	判別係数
第 1 因子	情 感 性	-0.328		
	直 的 真 実	0.182	生 活 不 良 行 为	-0.113
第 2 因子	作 作 の あ る こ と	0.126	心 气 的	-0.122
	良 媚	0.174	心 气 的	-0.144
第 3 因子	多 慢 性	0.129	日 常 行 为	-0.108
	存 在 感	0.163	职 业 有 格	-0.141
第 4 因子	便 用 度	0.116	情 动 状 慅 性	-0.118

表 2. 判別診断の結果

判	正	不	不	正	合	正 診 率
偏頭痛	34	7	1	4	45	66.6%
不安	10	38	1	4	54	70.4%
妄想	2	0	35	4	2	43.8%
雇用	3	6	8	37	0	54.5%
現業	4	2	2	0	91	99.0%
計	53	53	47	49	98	100
						78.5%

4. 考 察

今回の報告においては、JMI の各尺度が、神経症 5 つ、偏頭痛等の精神疾患の判別診断において、かなり程度の高い結果が得られたこと、すなわち JMI がかなり高い併存の妥当性を持つことが示された。今後、今回のデータにおいて得られた判別係数を用いて他の患者データの判別診断を行う交叉妥当性の検討さらには、各職場において検査を受けた人を長期間追跡して、子細の妥当性を調べる等、JMI の妥当性をさまざまな職場から検討していく必要がある。

(3) 胃癌の危険因子の探索³⁸⁾

胃がんの Risk factor に関する統計的解析

柳井晴夫*・吉本泰彦**・高木廣文**

目的

これまで癌に関する疫学的研究としては、自然環境

要因、文化的要因、癌主要因を個別に取り扱った報告

は多い。しかし、分析手法や資料収集の困難さから、

これら諸要因を総合的に分析した報告は多くはない。

ここでは、わが国において胃がん死亡率の約6%を占める胃がんの危険因子を総合的かつ定量的に把握する

ために、主として嗜好・食生活に関する胃がん患者の

疫学調査の結果をもとに、数量化二類の手法を用いて

分析を試みた。

データ

1967年1月～1972年5月までの6年5ヶ月間に、愛知県がんセンター内科消化器系専門外来を受診した胃がん患者、対照群(胃に異常所見の認められない患者および良性性胃炎の患者)に対して、面接により retrospective に収取された疫学データと臨床所見データを用いた。各年齢階層の例数を崩すために男性のみを分析対象とし、無作為に抽出した、胃がん群と対照群を表1に示した。

表1 分析に用いた対象者数

対象	年齢階層			
	30歳代	40歳代	50歳代	60歳代
胃がん群	129	200	200	200
対照群	200	200	179	98
対の 異常所見なし 胃炎	100	66	18	7
対の 異常所見なし 胃炎	100	134	161	85

(相関比)を最大にすることが、数量化二類の基準で

ある。

分析結果

1. 重みと正証率

上記の数量化二類の基準により算出された重みを表2に示す。重みが正でその値が大きいほど、そのカテゴリーが胃がんに対して高危険因子であることを示す。しかし、この値は重回帰分析での偏回帰係数に相当するもので、各カテゴリー単独の胃がんに対する危険度を示すものではない。

判別値による胃がん群と対照群の2群の重心を分割点(cutting point)としたとき、各年齢階層を通じての正証率は70台であった。図1が、判別値による分布で、2群がそれぞれ正証分布にしたがうものと仮定すると、50歳代では判別値が胃がん群の平均値より1標準偏差大きい7.5以上になると、胃がんになる確率(大体)は92%になる。

2. 集団分割による結果

60歳代男子(全例数)について、対照群の分布と共通部分を有しないD群(図1)に含まれる07名の胃がん患者の各カテゴリー別頻度分布のうち、米飯量、喫煙量について示したのが、図2である。D群での米飯量の分布は、量・反応関係(Dose-response)を示唆するものと考えられ、ここに示した喫煙量の他にも、飲酒量、食事の速さの分布も胃がん群全体の分布に比較的似た形態である。

3. 臨床データとの関連

判別値が大きいほど病巣部位は幽門部に多く、噴門部に少ない傾向がみられ、病巣の大きさが5cm×6cm以上である割合は、C群、D群に高い。

実用化

本研究の結果、external chequeによって表2の重みの安定性が確かめられれば、疫学的情報にもとづく

表2 数量化二類による各項目別カテゴリーの重み

項目	年齢階層			
	30歳代	40歳代	50歳代	60歳代
学歴	0.66	-0.26	0.42	0.49
後研修の有無	-0.45	0.50	0.90	-1.47
市販薬の取扱い	0.37	-0.01	0.09	-2.06
販賣運送業者	0.25	0.65	0.08	-0.16
喫煙	0.07	-0.24	-0.79	-2.17
飲酒	-0.54	2.34	2.81	0.31
肥満	-0.54	0.50	0.50	0.31
性別	-1.73	-0.72	-0.27	2.87
職業	2.00	2.93	2.21	0.25
内体	1.22	-0.11	0.91	0.79
内神経	-2.21	2.80	-3.02	-2.69
特記なし	-4.54	2.88	0.00	-0.51
5万円未満	-0.05	0.93	0.66	-0.51
～5万円	0.78	2.28	0.88	-1.93
～10万円	1.11	2.88	1.94	0.85
～10万円	-3.70	2.16	-1.53	-0.20
10万円以上	2.06	2.26	1.24	-0.89
勤務時間	2.05	-0.90	0.90	1.47
勤務時間過多	-0.65	0.80	-0.25	-0.82
勤務時間の倍	-0.82	-2.73	-0.35	-1.77
米飯量	2.91	0.68	-1.02	-3.89
6.5杯以降	-1.74	0.53	0.53	1.03
15杯以上	-0.53	0.53	1.03	-0.51
食事の速さ	1.94	-0.68	0.49	-1.37
食事の速い	1.11	-0.09	-1.75	1.84
食事の速い	0.82	0.41	0.55	-0.29
食事の速い	-0.65	-4.62	0.77	0.11
食事の速い	0.84	1.40	-0.16	0.90
食事の速い	-0.57	1.87	-0.13	-0.68
コーヒー取扱い	0.57	-1.40	-0.06	0.71
おなきど	-0.10	-1.46	0.43	2.18
牛乳取扱い	0.33	-1.10	0.22	-0.40
牛乳取扱い	-0.99	-0.13	-0.38	0.49
牛乳取扱い	0.98	0.53	0.53	0.7
酒類取扱い	0.56	0.59	2.60	2.87
酒類取扱い	-0.60	0.49	1.35	0.32
酒類取扱い	-0.59	-0.26	-2.10	-1.11
高脂分食	3.04	-1.32	-1.38	-2.24
高脂分食	-0.77	-0.78	-2.79	-2.73
食品取扱い	0.76	0.26	1.46	1.99
食品取扱い	0.27	0.47	0.37	0.81
便通	0.31	-1.24	-0.40	1.21
便通	-0.31	-2.28	1.54	-1.78
便通	-1.52	0.30	-1.68	-0.88
360ml/日	2.10	-0.91	0.42	0.76
540ml/日未満	-0.44	3.40	3.01	1.02
540ml/日以上	5.61	4.20	2.14	1.66
便通	-0.03	-0.36	-4.64	-2.45
(A/I)(I)	0.84	-1.68	0.16	-3.69
×(便通年数)	1.10	-1.80	-1.28	-0.37
60歳以上	-0.12	2.62	2.99	-0.33
70歳以上	7.40	3.26	3.83	2.44

* 1人が胃がん、1人が他のがん

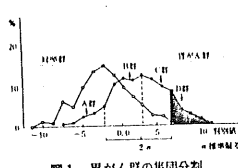


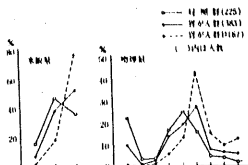
図1 胃がん群と対照群の2項目のカテゴリー別分布

39)

(4) 糖尿病患者のインスリン依存性と臨床像

(2) 多変量解析による患者の初診時臨床像と治療法に関する研究

高木廣文*・豊川裕之*・小坂樹徳**



胃がんのチェックリスト作成が可能になる。また、長期的に見る prospective study にて、判別値の予測的当科料を検討することが望まれるが、既往歴と胃がん発生までの time lag が長めであり、今後の課題である。

主要文献

柳井晴夫、吉本泰彦、高木廣文、豊川裕之、前田和邦、栗山英男：胃がんの Risk Factor に関する統計的分析、日本公衆誌 24 : 547～555, 1977.

うち非インスリン治療群は判別間数の算出のための 261 例と、判別間数チェックのための 830 例とに分けた。

得られた成績は以下のとおりである。

1) インスリン治療群は非インスリン治療群に比べ、発症年齢は若く、罹病期間は長く、最大肥満度も軽度であり、空腹時血糖値、血清コレステロール、血清尿素窒素は高く、逆に収縮期血圧と拡張期血圧は低かった。また、眼底および尿たん白の異常はインスリン治療群で高率であり、高血圧の既往歴および喫煙歴を有する者は、非インスリン治療群で高率であった。

2) 判別分析によって、治療群の判別に重要な初診時検査項目を選定した。それらは、①空腹時血糖値、②発症年齢、③血清尿素窒素、④眼底所見、⑤初診時肥満度、⑥罹病期間、⑦最大体重年齢、⑧血清コレステロール、⑨収縮期血圧、⑩尿たん白、⑪喫煙歴、⑫高血圧の家族歴、⑬心電図所見、⑭糖尿病の家族歴、⑮臍卒中の家族歴の15変数である。これらを用いての判別率は、インスリン治療群74.7%、非インスリン治療群80.0%、両群あわせて77.8%であった。チェック用の非インスリントリートメント群830例では81.0%の判別率であった。

3) 実数追加による判別率の推移から、実際上は上記①～⑯の9変数を用いても、判別率は77.6%あり、これら9変数が最も重要であることを指摘した。さらに、主成分分析により、これらの変数が初診時年齢、糖尿病性網膜症および糖尿病代謝に関係する変数と考えられることが示された。

4) 上記①～⑯から、インスリン治療群と非インスリントリートメント群では、初診時臨床像に明らかな差があり、また逆に初診時臨床像から長期的なインスリン使用を予測することができる程度可能であると考えられる。

表4 治療群の判別に用いた変数(前項判別法による)

順位	変数	t ^a	R ₂ ^b	D ₁₀ ^c	D ₁₀ /2	判別率(%)			
						I群	N群	両群	理論値
1.	空腹時血糖値	-0.354	0.394	0.731	0.427	67.6	67.7	67.6	66.5
2.	発症年齢	0.255	0.484	1.222	0.553	66.9	74.7	70.9	71.0
3.	血清尿素窒素	-0.100	0.545	1.684	0.649	66.1	77.4	72.9	74.2
4.	眼底所見	-0.138	0.580	2.018	0.710	70.4	75.1	72.8	76.1
5.	初診時肥満度	0.108	0.601	2.254	0.751	70.4	76.2	73.4	77.4
6.	罹病期間	-0.170	0.625	2.559	0.800	72.8	77.0	74.9	78.8
7.	最大体重年齢	0.206	0.639	2.757	0.830	72.4	76.6	74.5	79.7
8.	血清コレステロール	-0.073	0.651	2.931	0.856	72.0	78.2	75.1	80.4
9.	収縮期血圧	0.139	0.664	3.140	0.886	75.1	80.1	77.6	81.2
10.	尿たん白	-0.114	0.675	3.338	0.914	73.5	80.8	77.2	82.0
11.	喫煙歴	0.075	0.684	3.513	0.937	73.2	81.2	77.2	82.6
12.	高血圧・既往歴	0.031	0.691	3.641	0.954	73.5	80.8	77.2	83.0
13.	心電図所見	-0.003	0.695	3.725	0.965	73.9	80.5	77.2	83.3
14.	糖尿病・家族歴	0.008	0.699	3.801	0.975	74.3	80.5	77.4	83.5
15.	臍卒中・既往歴	0.004	0.701	3.856	0.982	74.7	80.8	77.8	83.7

* 全ケースによる外的基準との単相関係数

** I群257例、N群261例における重相関係数

▲マハラノビスの汎距離

△自由度調整したマハラノビスの汎距離

◆自由度再調整したマハラノビスの汎距離

(5) 糖尿病性網膜症の危険因子の探索⁴⁰⁾

糖尿病長期治療患者に関する疫学研究

(3) 多重ロジスティック・モデルによる眼底網膜症の

リスク・ファクターに関する研究

高木 廣文*

糖尿病患者の網膜症発症のリスク・ファクターを探るために、初診時眼底所見正常者で5年目眼底所見正常者367例(男206例、女161例)と異常者96例(男60例、女36例)の各種初診時データを用いて、Walker-Duncan法による多重ロジスティック関数を求め、網膜症発症の初診時におけるリスクを定量化した。さらに間数算出に用いなかった患者を含めて1,080例について、初診時または5年次眼底所見別にリスクを算出し、得られた多重ロジスティック関数の妥当性を検討した。

資料は、東京大学医学部第三内科、朝日生命成人病研究所、済生会中央病院、東京女子医大、国立病院医療センター、および虎の門病院の6施設において、5年以上の治療経過の明らかな患者1,358例についてのデータを用いた。

得られた成績は以下のとおりである。

1) 糖尿病性網膜症のリスク・ファクターとして、空腹時血糖値、罹病期間、血清尿素窒素、収縮期血圧、最大体重年齢、および高血圧の家族歴の6変数が統計学的な前述選択法により選択された。

2) 空腹時血糖値、罹病期間、血清尿素窒素、収縮期血圧の測定値が大きい場合に、最大体重年齢は若い場合に、そして高血圧の家族歴がない場合に、それぞれ網膜症のリスクが大きくなる。

3) リスクの平均値は、初診時眼底正常者では0.207、このうち5年次眼底正常群では0.181、異常群では0.306となり、リスクが約0.2を越える者は網膜症発症の危険が、平均より高くなると考えられる。

4) 得られた多重ロジスティック関数の妥当性の検討により、本研究によって求めたリスクが網膜症発症に関してだけでなく、ある程度は網膜症進行もしくは軽快の指標としても有用であることが示された。

表5 多重ロジスティック・モデルの変数選択におけるAICの推移

順位	項目	W.D. ^a	D.F. ^b
1)	空腹時血糖値	451.8	432.5
2)	罹病期間	441.2	442.4
3)	血清尿素窒素	431.8	433.2
4)	収縮期血圧	430.5	431.9
5)	最大体重年齢	428.6	429.9
6)	高血圧の家族歴	428.5	429.8
7)	甲状腺疾患の既往歴	429.0	430.3
8)	虚血性心疾患の既往歴	430.2	431.5
1)	Walker-Duncan		
2)	Discriminant Function		

表6 多重ロジスティック・モデルにおける各変数の係数

変数	係数 ^a	標準化 ^b 係数	標準誤差	t
1) 空腹時血糖値	8.258×10^{-2}	0.512	0.116	4.42
2) 罹病期間	7.320×10^{-2}	0.336	0.111	3.03
3) 血清尿素窒素	1.072×10^{-1}	0.352	0.116	3.04
4) 収縮期血圧	1.332×10^{-2}	0.286	0.125	2.29
5) 最大体重年齢	-2.286×10^{-2}	-0.263	0.130	2.02
6) 高血圧の家族歴	-4.040×10^{-1}	-0.183	0.127	1.44
定数項	-5.433	—	1.119 ^c	4.86

1) 純データを用いるときの重み

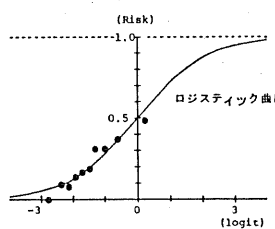
2) 標準化データを用いるときの重み

3) 係数^aの標準誤差

表7 多重ロジスティック・モデルによるリスクと眼底異常持続者数および実現者数

リスクの範囲	標本数	リスク異常期待数	実現数	標本数
1. 0.036-0.072	46	0.056	2.7	0
2. 0.073-0.092	47	0.083	3.9	4
3. 0.092-0.116	46	0.104	4.8	3
4. 0.116-0.135	46	0.126	5.8	6
5. 0.136-0.167	47	0.150	7.1	8
6. 0.167-0.195	46	0.178	8.3	8
7. 0.195-0.238	46	0.215	9.9	14
8. 0.240-0.296	46	0.264	12.2	14
9. 0.298-0.403	47	0.341	16.0	17
10. 0.403-0.910	46	0.553	25.4	22
Total	463	0.207	96.1	96
			0.207	

図1 多重ロジスティック・モデルによるリスクと実現者数(黒丸)



5 これからの計量診断の問題点

すでに述べたように、既存の多くの計量診断の方法は、疾患群（コントロール群を含む）を既知として、判別関数を適用するものであったが、疾患群の定義づけが一義的でない場合、判別分析によって得られる判別軸（判別主成分）は必ずしも、二群の分離を最も顕著にするという保証はない。この場合、すでに述べたように、クラスター分析をはじめとする、種々の分類の手法を適用して、患者をいくつかの疾患群に分類することが必要である。また、判別分析を適用する場合には、できる限り症状などにより患者をいくつかの群に分類し、多重判別分析（正準判別）を適用するか、重回帰分析を用いる場合でも基準変数を多数用いた正準相関分析を適用することを考えよう。

第二の点は、ある一群のデータに基づく判別分析によって得られた結果の交差妥当性（cross validation）の問題である。すなわち、ある病院のデータによって得られた判別診断の方法は、他の病院のデータにも、ほほ同程度の正診率を保証するものでなければならない。この意味で、一群のデータを他群に分割することなどによって、交差妥当性を高めるような、数量化の方法が開発されていくことが期待される。

第三に、変数選択の問題がある。変数選択の問題としては、(1) どのような順序で変数を判別式に含めていくか、(2) いくつの変数を判別分析に含めたらよいか。

第一の点は、重回帰分析における種々の変数選択の手法（前進選択、後進選択、変数増減、減増法）があるが、これらの手法は二群の場合の判別分析、さらには、多群の判別、正準相関分析における変数選択、さらに、因子分析において、潜在因子を外的基準とした場合の変数選択にも適用可能となる。^{19, 34)}

第二の点としては、重回帰分析におけるPSS (predicted sum of square), AIC で変数を減少できたとしても、得られた合成分数（判別関数）の信頼性が低下していくことも考えなくてはいけない。

第三の点としては、現在の計量診断を、単なるある症候ベクトル $x' = (x_1, x_2, \dots, x_p)$ によって特徴づけられる患者の疾患の判別でなく、その患者の時間的経過をふまえた上で将来の病状の予測という観点に立つて、再構成していくことも必要であろう。

このためには、現在の多変量解析の方法に時系列的手法を組み合わせた、新しい手法の開発も望まれるところである。

参考文献

- 1) 柳井晴夫, 高根芳雄: 多変量解析法, 朝倉書店, 1977
- 2) Cox, D.R., J Roy Statist Soc, 34, 187-220, 1972
- 3) 鳥居敏雄 他: 医学生物学のための推計学, 東大出版会, 1954
- 4) 崎野滋樹, 川野悟朗, 統計研究報 1 (1), 1953
- 5) 高橋成正, 医用電子と生体工学 6 (3), 1968
- 6) 高橋成正編: 計量診断学, 東大出版会, 1970
- 7) 久保武士 他, 産婦人科の世界 25 (6), 1973; 8) 諸橋侃, 慶應医学 46 (3), 1969; 9) 斎藤陽一 他 (文献12の一部); 10) 青木繁伸 他, 行動計量学 2 (1), 1974; 11) 北沢克明, 日本臨学会 79 (11), 1975; 12) 宮原英夫 他, 神經研究の進歩 19 (6), 1975; 13) 久保武士 他, 日本臨床 34 (2), 1976; 14) 後藤昌司: 多変量データの解析法, 科学情報出版, 1973; 15) 三宅章彦 他, 医用電子と生体工学 13 (6), 1975; 16) 佐藤後輔, 医用電子と生体工学 6 (2), 1968; 17) 宮原英夫 他, 数理科学, 1973. 3;
- 18) 柳井晴夫, 日本臨床 34 (1), 1976; 19) 柳井晴夫, 日本臨床, 35 (7), 1977; 20) 宮原英夫, 医用電子工学 12 (6), 1974; 21) 宮原英夫, 医用電子工学 13 (3), 1974
- 22) 梶谷文彦 他, 日本臨床 33 (12), 1975; 23) 井形昭弘 他, 神經研究の進歩 18 (5), 1975; 24) 林知己夫, 医用電子と生体工学 13 (4), 1975; 25) 井上通敏 他, 医用電子と生体工学 14 (1), 1976; 26) 後藤昌司, 医用電子と生体工学 14 (3), 1976; 27) 古川俊之, 医用電子と生体工学 14 (3), 1976; 28) 矢島敬二 他, 医用電子と生体工学 14 (3), 1976; 29) 三宅章彦, 日本臨床 32 (11), 1975
- 30) 青木繁伸 他, 医学のあゆみ 110 (13), 1979; 31) 柳井晴夫, 臨床ME 2 (2), 1978; 32) 柳井晴夫 他, 数理科学, 1976. 11; 33) 古川俊之, 医学のあゆみ, 110 (13), 1979; 34) Haruo Yanai, Behaviormetrica No. 7, 1980; 35) Suzuki, T. & Kudo, A., Environmental Health Perspectives, vol 32, 131-141, 1979; 36) 鈴木亮亮 他, 最新医学 33 (1), 1978; 37) 柳井晴夫 他, 第44回日本心理学会発表抄録集 1980. 8; 38) 柳井晴夫 他, 最新医学 33 (1), 1978
- 39) 高木広文 他, 日本公衛誌 26 (3), 1979; 40) 高木広文, 日本公衛誌 26 (4), 1979